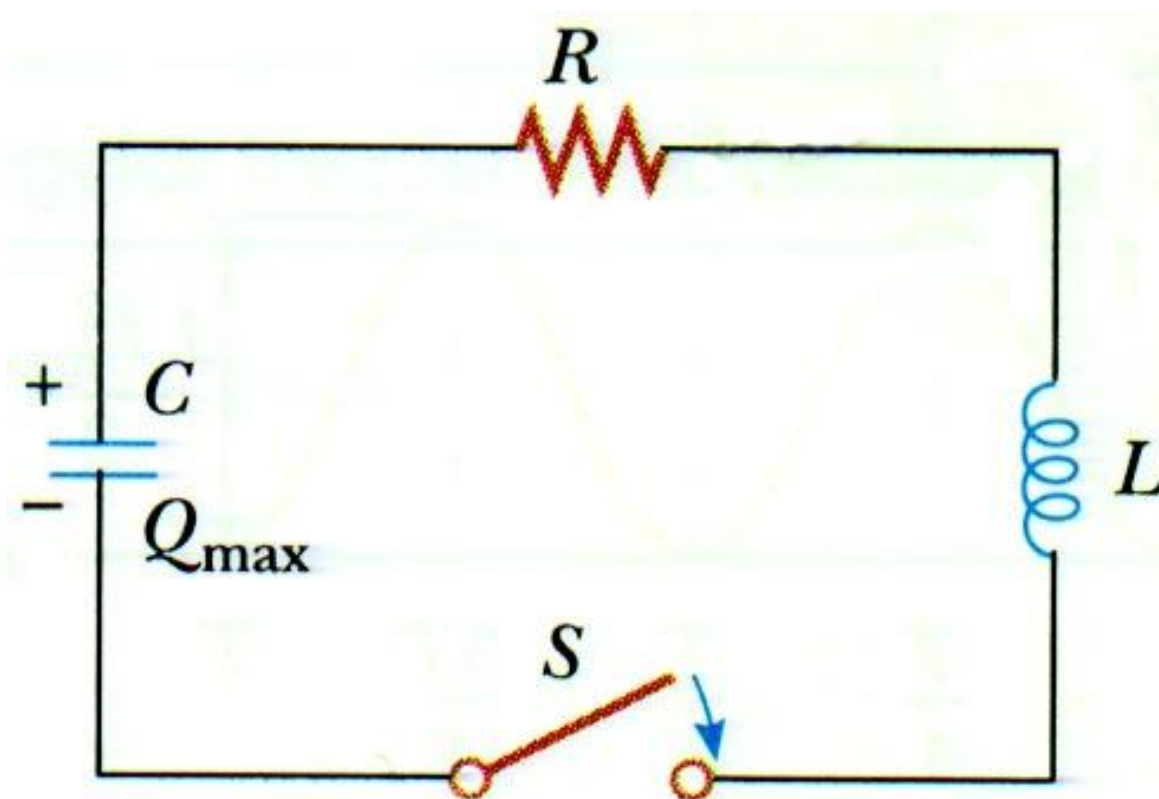



# Capítulo 33 – Oscilações Eletromagnéticas e Corrente Alternada

## 33.5 Oscilações Amortecidas em um Circuito RLC





Quando a carga contida no circuito RLC oscila em um ou em outro sentido através da resistência, a energia eletromagnética é dissipada como energia térmica, amortecendo as oscilações (ou seja, diminuindo a amplitude das oscilações).

## 33.5 Oscilações Amortecidas em um Circuito RLC


$$U = U_B + U_E = \frac{1}{2}Li^2 + \frac{1}{2C}q^2, \quad (33.22)$$

$$\frac{dU}{dt} = -Ri^2 \Rightarrow \frac{d}{dt} \left( \frac{1}{2}Li^2 + \frac{1}{2C}q^2 \right) \Rightarrow Li \frac{di}{dt} + \frac{1}{C}q \frac{dq}{dt} = -Ri^2, \quad (33.23)$$


$$L \frac{d^2q}{dt^2} + \frac{1}{C}q + R \frac{dq}{dt} = 0. \quad (33.24)$$



Solução Geral:  $q(t) = Qe^{-Rt/2L} \cos(\omega't + \phi), \quad (33.25)$

$$\text{onde } \omega' = \sqrt{\omega^2 - \left(\frac{R}{2L}\right)^2} \text{ e } \omega = \frac{1}{\sqrt{LC}}. \quad (33.26)$$

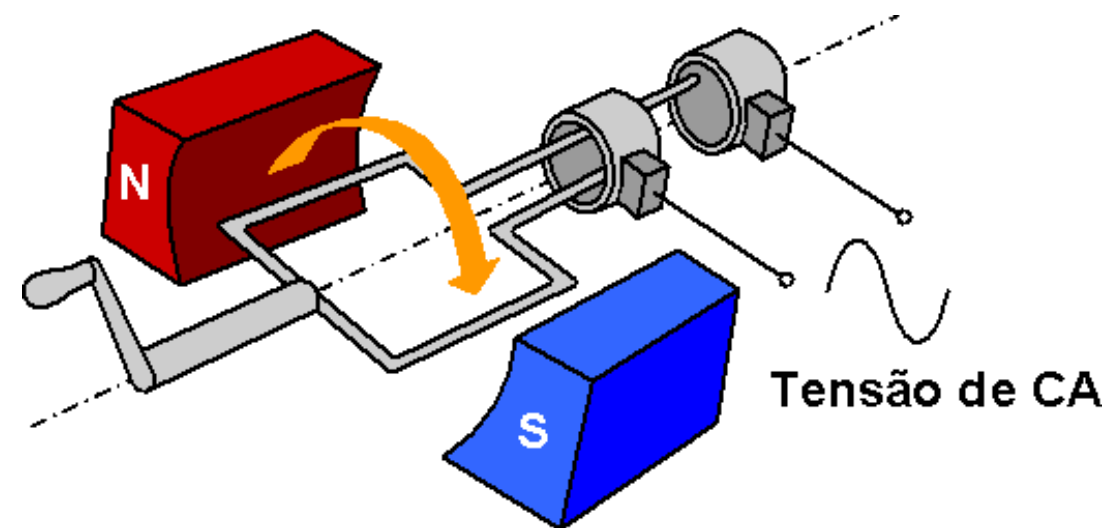
$$i(t) = \frac{d}{dt} [Qe^{-Rt/2L} \cos(\omega't + \phi)] = -Qe^{-Rt/2L} \left( \omega' \sin(\omega't + \phi) + \frac{R}{2L} \cos(\omega't + \phi) \right)$$

$$U_E(t) = \frac{1}{2C}q^2(t) = \frac{Q^2}{2C}e^{-Rt/L} \cos^2(\omega't + \phi), \quad (33.27)$$

$$U_B(t) = \frac{1}{2}Li^2(t) = \frac{LQ^2}{2}e^{-Rt/L} \left( \omega' \sin(\omega't + \phi) + \frac{R}{2L} \cos(\omega't + \phi) \right)^2$$

**Exercícios sugeridos da seção 33.5: 24E, 25E, 26P, 27P, 28P e 29P.**

## 33.6 Corrente Alternada



Lei de Faraday:  $\varepsilon = -\frac{d\Phi_B}{dt}$

Nos geradores de **corrente alternada**, uma espira condutora é forçada a girar na presença de um campo magnético externo. Na prática, a fem induzida em uma bobina com muitas espiras torna-se acessível por meio de anéis deslizantes (anéis coletores) presos à espira que gira. Cada anel está ligado a uma extremidade do fio da espira e está ligado eletricamente ao resto do circuito do gerador por uma escova condutora contra qual ele desliza quando a espira (e ele próprio) gira.

amplitude da fem

fem oscilatória induzida na espira:  $\varepsilon(t) = \varepsilon_m \sin \omega_d t$  (33.28)

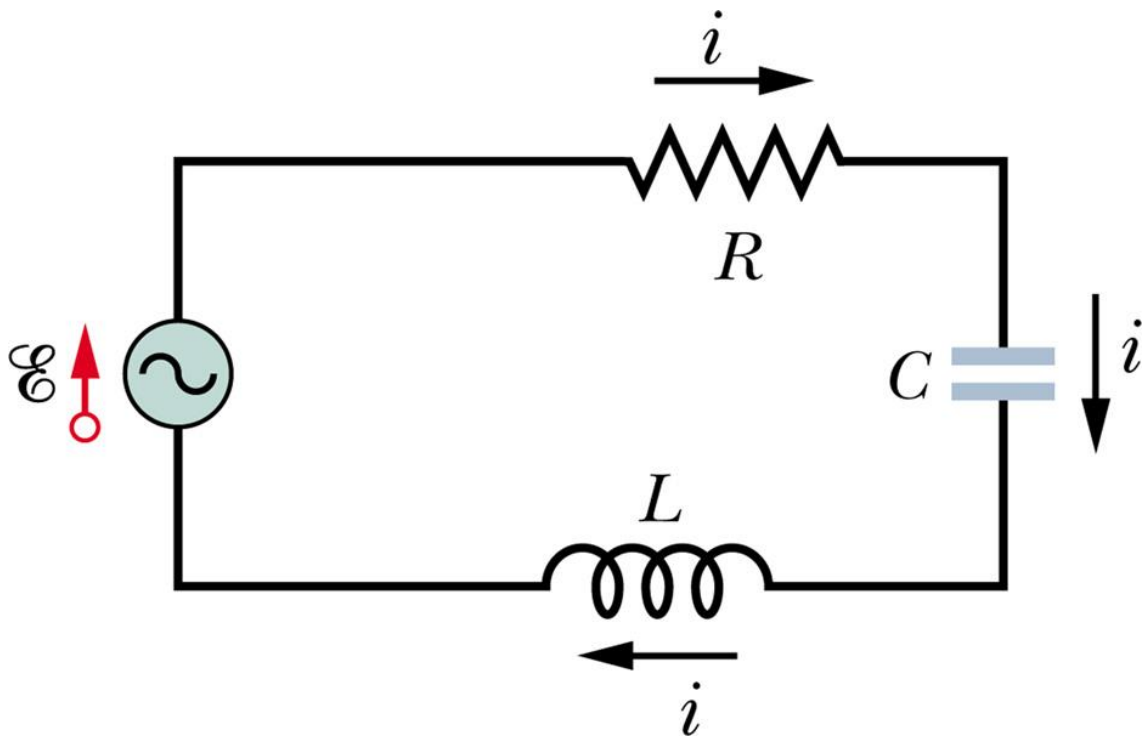
$\omega_d = \omega$  com que a espira está girando.

Se a espira giratória é parte de um percurso condutor fechado, esta fem excita uma corrente:

$$i(t) = I \sin(\omega_d t - \phi). \quad (33.29)$$

frequência angular de excitação

## 33.7 Oscilações Forçadas



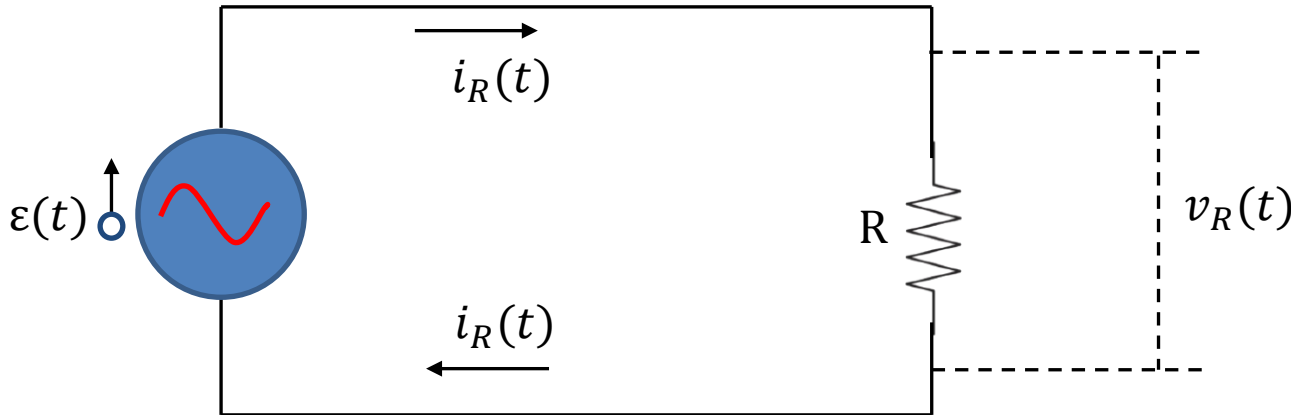
Circuito de malha simples contendo um resistor ( $R$ ), um capacitor ( $C$ ), e um indutor ( $L$ ). Um gerador ( $\mathcal{E}$ ), representado por uma onda senoidal em um círculo, produz uma fem alternada que estabelece uma corrente alternada; os sentidos da fem e corrente são indicados na figura em apenas um instante.

Qualquer que seja a frequência angular natural  $\omega$  de um circuito, oscilações forçadas de carga, corrente e ddp no circuito sempre ocorrem na frequência angular de excitação  $\omega_d$ .

$$\omega_d = \omega \quad \textbf{(Ressonância)}$$

## 33.8 Três Circuitos Simples: 1) Carga Resistiva

Circuito formado por um resistor e um gerador de **CA**.



$$\varepsilon(t) - v_R(t) = 0 \quad (\text{Regra da malhas})$$

Como  $\varepsilon(t) = \varepsilon_m \sin \omega_d t \Rightarrow v_R(t) = \varepsilon_m \sin \omega_d t$  ou  $v_R(t) = V_R \sin \omega_d t$ . (33.30)

Mas  $v_R(t) = R i_R(t) \Rightarrow i_R(t) = \frac{v_R(t)}{R} = \frac{V_R}{R} \sin \omega_d t$ . (33.31)

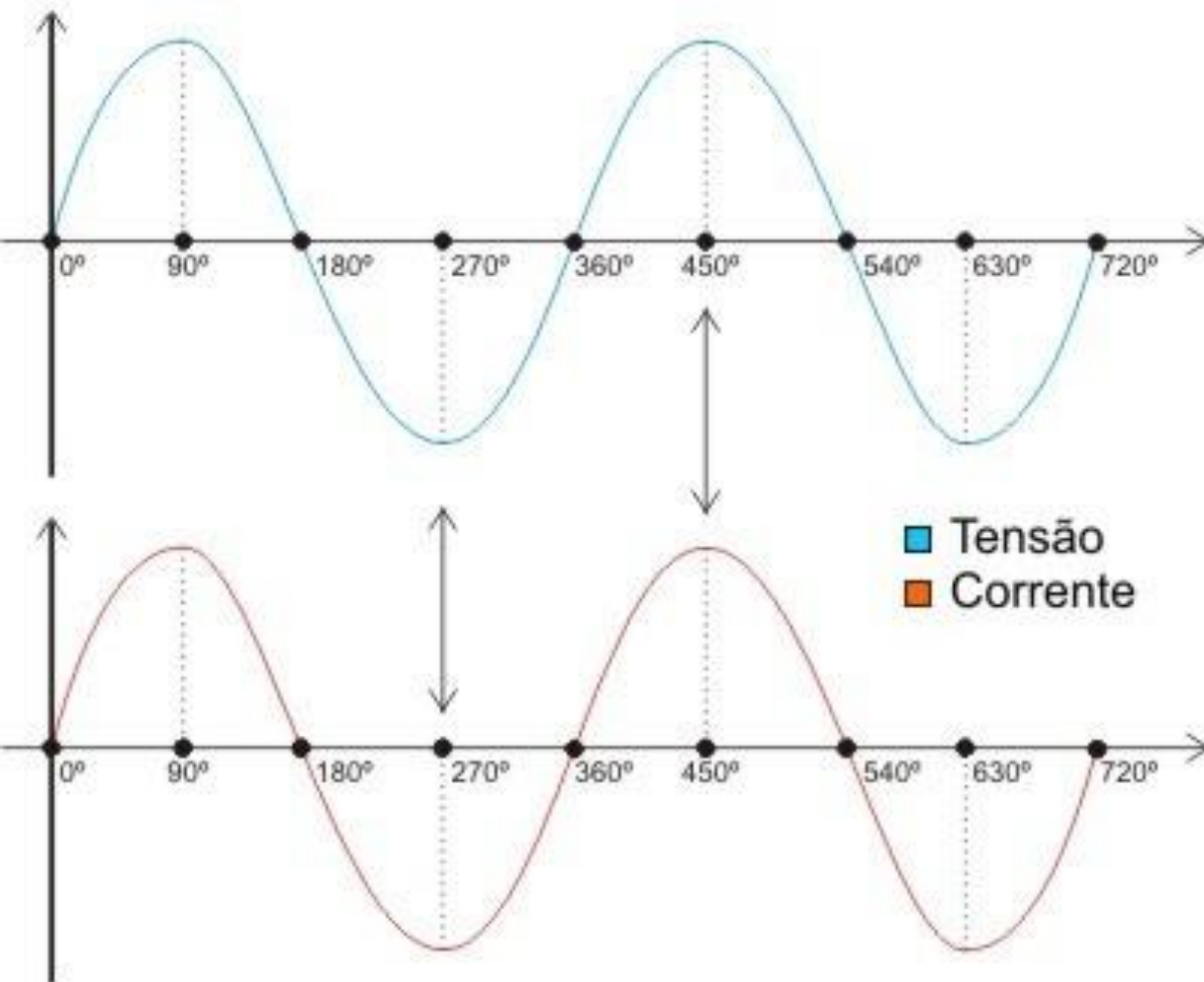
Da eq. (33.29), podemos escrever

$$i_R(t) = I_R \sin(\omega_d t - \phi). \quad (33.32) \quad \longrightarrow \quad \phi = 0^\circ \text{ e } V_R = I_R R. \quad (33.33)$$

➤ **As grandezas variáveis com o tempo,  $v_R(t)$  e  $i_R(t)$ , estão em fase!**

## 33.8 Três Circuitos Simples: 1) Carga Resistiva

### Circuito puramente resistivo



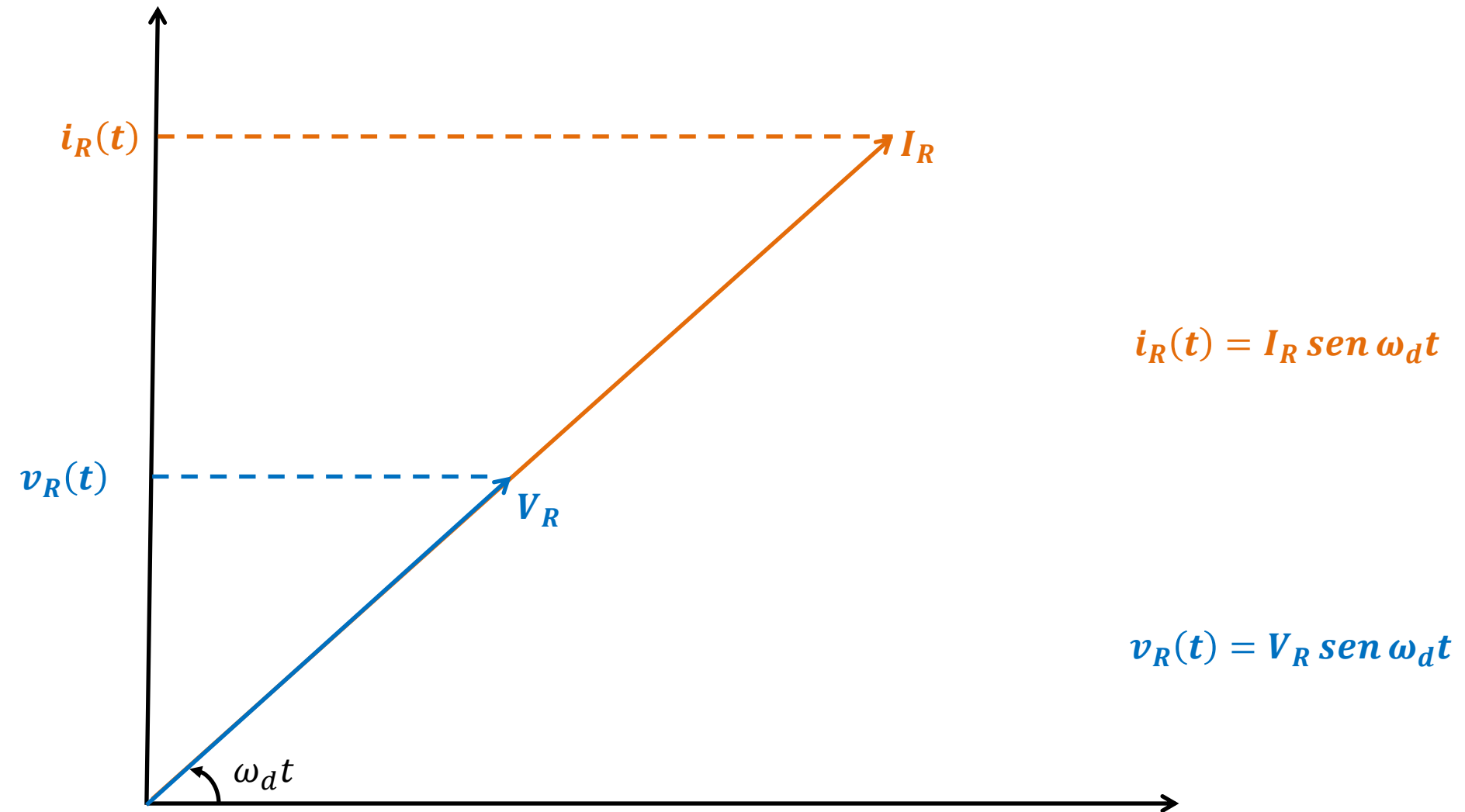
$$v_R(t) = V_R \text{ sen } \omega_d t$$

$$i_R(t) = I_R \text{ sen } \omega_d t$$

corrente e tensão sincronizadas (em fase)  
vale com vale e pico com pico

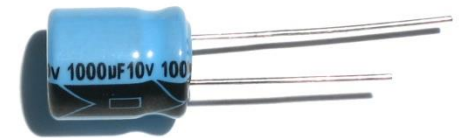
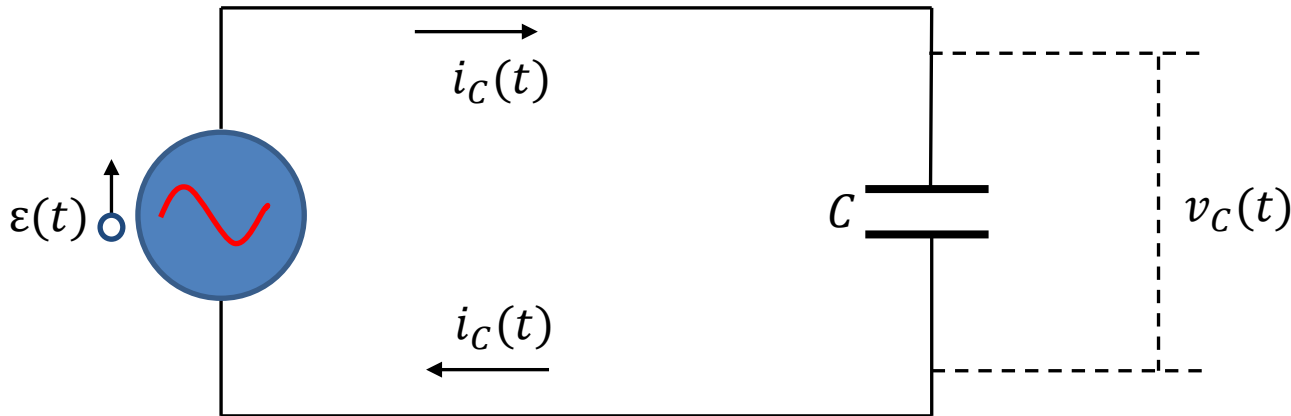
## 33.8 Três Circuitos Simples: 1) Carga Resistiva

Diagrama fasorial para  $v_R(t)$  e  $i_R(t)$ .



## 33.8 Três Circuitos Simples: 2) Carga Capacitiva

Circuito formado por um capacitor e um gerador de **CA**.





Capacitor real

$$\varepsilon(t) - v_C(t) = 0 \quad (\text{Regra da malhas})$$

Como  $\varepsilon(t) = \varepsilon_m \sin \omega_d t \Rightarrow v_C(t) = \varepsilon_m \sin \omega_d t$  ou  $v_C(t) = V_C \sin \omega_d t$ . (33.36)

Mas  $v_C(t) = \frac{q_C(t)}{C} \Rightarrow q_C(t) = CV_C \sin \omega_d t$ . (33.37)

  $i_C(t) = \frac{dq_C(t)}{dt} = \omega_d C V_C \cos \omega_d t$ . (33.38)

**Reatância capacitiva**   $X_C \equiv \frac{1}{\omega_d C}$ . (33.39)



## 33.8 Três Circuitos Simples: 2) Carga Capacitiva

Substituindo  $\cos \omega_d t = \sin(\omega_d t + 90^\circ)$  na eq. (33.38) [ $i_C(t) = \omega_d V_C \cos \omega_d t$ ], ficamos com

$$i_C(t) = \frac{V_C}{X_C} \sin(\omega_d t + 90^\circ). \quad (33.40)$$

Da eq. (33.29) [ $i(t) = I \sin(\omega_d t - \phi)$ ], podemos escrever  $i_C(t)$  como

$$i_C(t) = I_C \sin(\omega_d t - \phi). \quad (33.41)$$

Comparando as equações (33.40) e (33.41), vemos que

$$\phi = -90^\circ \text{ e } V_C = I_C X_C. \quad (33.42)$$

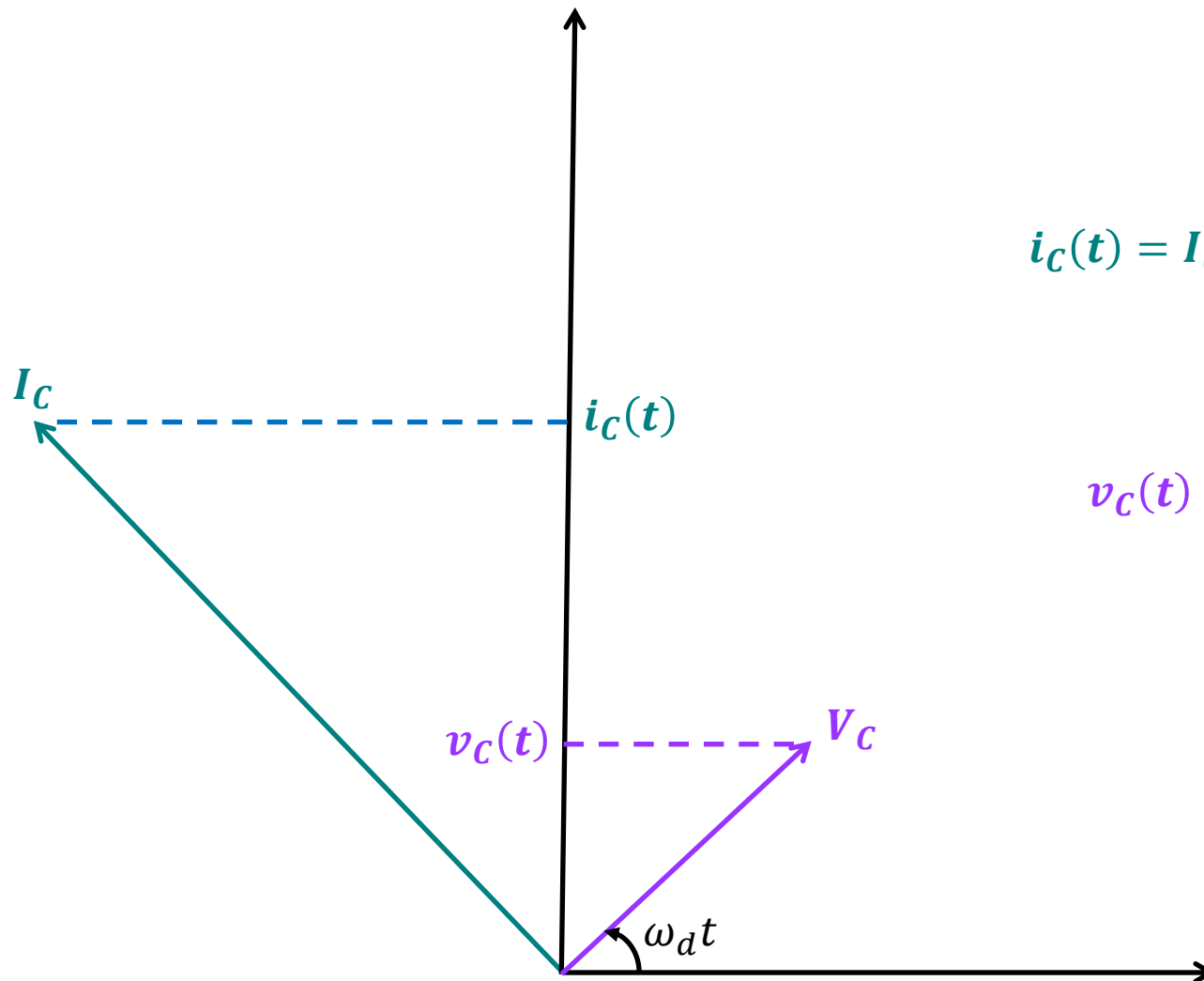
$$\text{Lembrete: } v_C(t) = V_C \sin \omega_d t. \quad (33.36)$$



- As grandezas variáveis com o tempo,  $v_C(t)$  e  $i_C(t)$ , estão fora de fase por  $90^\circ$ . A corrente  $i_C(t)$  está adiantada em relação a  $v_C(t)$  por  $90^\circ$ .

## 33.8 Três Circuitos Simples: 2) Carga Capacitiva

Diagrama fasorial para  $v_C(t)$  e  $i_C(t)$ .

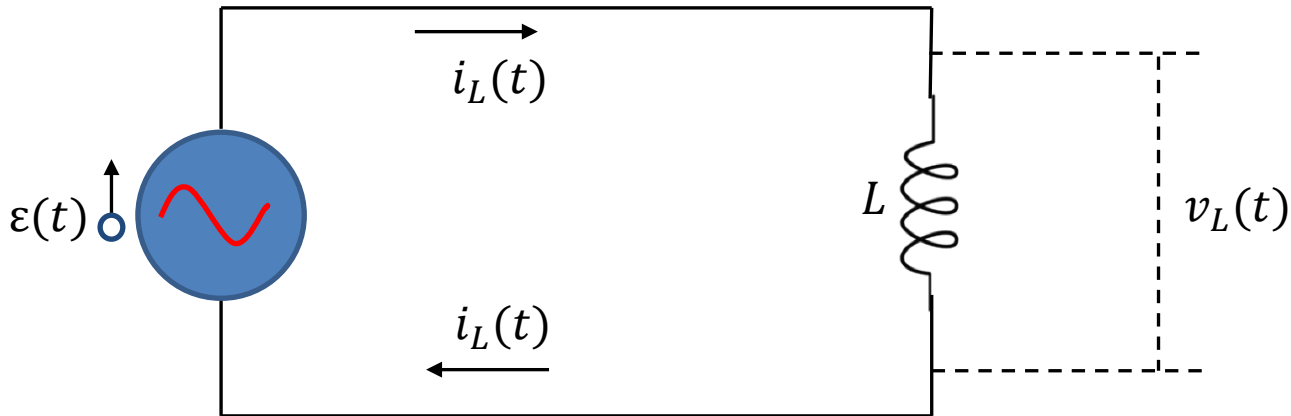


$$i_C(t) = I_C \text{sen}(\omega_d t + 90^\circ)$$

$$v_C(t) = V_C \text{sen } \omega_d t$$

## 33.8 Três Circuitos Simples: 3) Carga Indutiva

Circuito formado por um indutor e um gerador de **CA**.



$$\varepsilon(t) - v_L(t) = 0 \quad (\text{Regra da malhas})$$

Como  $\varepsilon(t) = \varepsilon_m \sin \omega_d t \Rightarrow v_L(t) = \varepsilon_m \sin \omega_d t$  ou  $v_L(t) = V_L \sin \omega_d t$ . (33.45)

Mas  $v_L(t) = L \frac{di_L(t)}{dt}$  (33.46)  $\Rightarrow \frac{di_L(t)}{dt} = \frac{V_L}{L} \sin \omega_d t$ . (33.47)

**➡**  $i_L(t) = \int di_L(t) = \frac{V_L}{L} \int \sin \omega_d t \, dt = - \left( \frac{V_L}{\omega_d L} \right) \cos \omega_d t$ . (33.48)

**Reatância indutiva**  $\leftarrow X_L \equiv \omega_d L$ . (33.49)

## 33.8 Três Circuitos Simples: 3) Carga Indutiva

Substituindo  $-\cos \omega_d t = \text{sen}(\omega_d t - 90^\circ)$  na eq. (33.48) [ $i_L(t) = -(V_L/\omega_d L)\cos \omega_d t$ ], ficamos com

$$i_L(t) = \frac{V_L}{X_L} \text{sen}(\omega_d t - 90^\circ). \quad (33.50)$$

Da eq. (33.29) [ $i(t) = I \text{sen}(\omega_d t - \phi)$ ], podemos escrever  $i_L(t)$  como

$$i_L(t) = I_L \text{sen}(\omega_d t - \phi). \quad (33.51)$$

Comparando as equações (33.50) e (33.51), vemos que

$$\phi = +90^\circ \text{ e } V_L = I_L X_L. \quad (33.42)$$

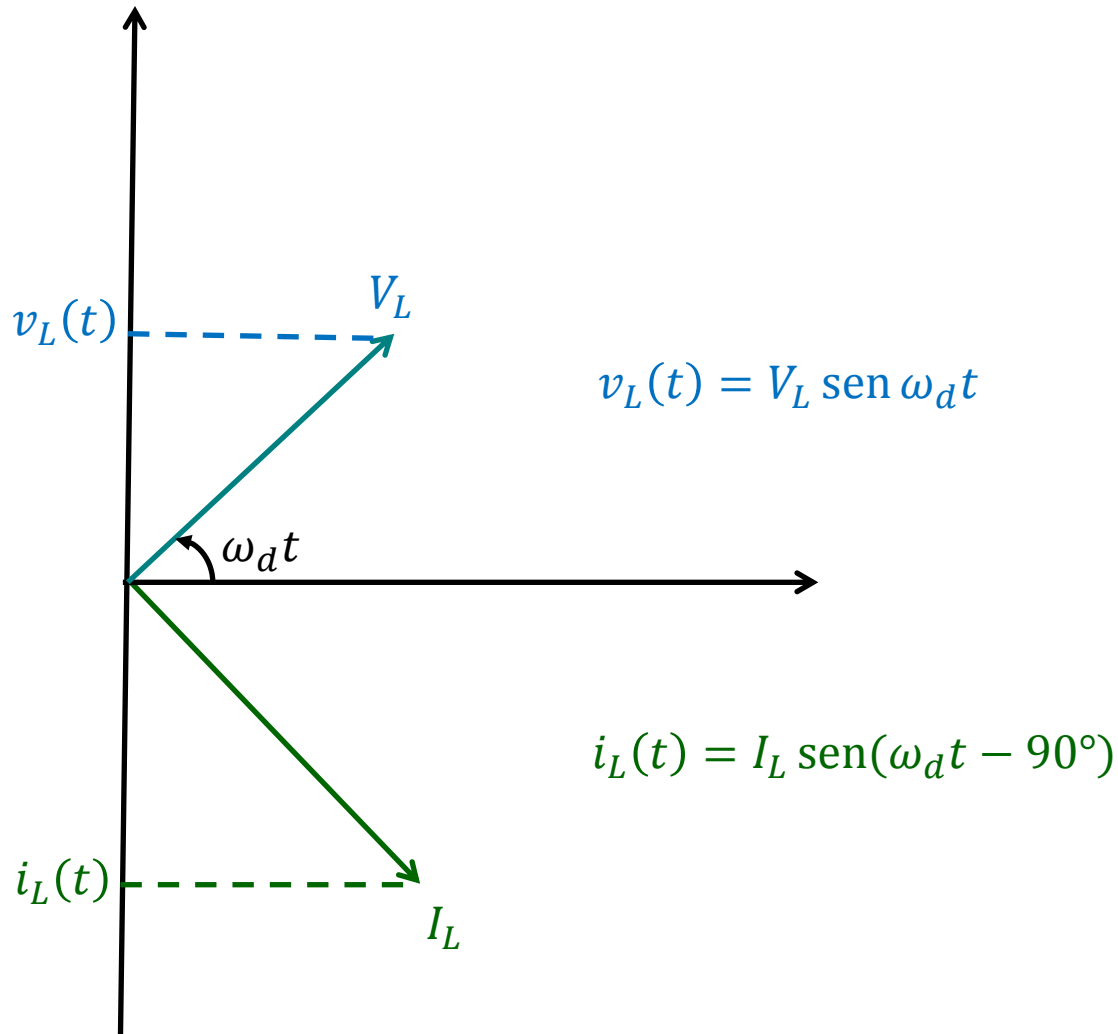
$$\text{Lembrete: } v_L(t) = V_L \text{sen } \omega_d t. \quad (33.45)$$



- As grandezas variáveis com o tempo,  $v_L(t)$  e  $i_L(t)$ , estão defasadas por  $90^\circ$ . A corrente  $i_L(t)$  está atrasada em relação a  $v_L(t)$  por  $90^\circ$ .

## 33.8 Três Circuitos Simples: 3) Carga Indutiva

Diagrama fasorial para  $v_L(t)$  e  $i_L(t)$ .



# 33.8 Resumo da Seção 33.8

Elemento do Circuito	Símbolo	Resistência ou Reatância	Fase de Corrente	Constante (ou Ângulo) de Fase	Relação de Amplitude
Resistor	R	R	Em fase com $v_R(t)$	0°	$V_R = I_R R$
Capacitor	C	$X_C = 1/\omega_d C$	Adiantada de 90° em relação a $v_C(t)$	-90°	$V_C = I_C X_C$
Indutor	L	$X_L = \omega L$	Atrasada de 90° em relação a $v_L(t)$	+90°	$V_L = I_L X_L$

Exercícios sugeridos da seção 33.8: 31E, 33E, 34P, 35P e 36P.